

مدل‌سازی برش شیشه با جت آب همراه ذرات ساینده توسط شبکه عصبی و بهینه‌سازی زبری سطح با الگوریتم کرم شب‌تاب

حسین امیرآبادی^{۱*}، خلیل خلیلی^۲، ابوالفضل فورگی‌نژاد^۳، جواد عاشری^۴

- استادیار مهندسی مکانیک، دانشگاه بیرجند، بیرجند
- استادیار مهندسی مکانیک، دانشگاه بیرجند، بیرجند
- دانشجوی دکتری مهندسی مکانیک، دانشگاه بیرجند، بیرجند
- کارشناس ارشد مهندسی مکانیک، دانشگاه بیرجند، بیرجند

* بیرجند، صندوق پستی ۶۱۵/۷۷۵، ۹۷۱۷۵.

hamirabadi@birjand.ac.ir

چکیده- در این مقاله از الگوریتم تازه گسترش یافته کرم شب‌تاب برای بهینه‌سازی فرایند برش شیشه با جت آب همراه با ذرات ساینده که فرایندی چند متغیره غیرخطی است، استفاده شد. در روش پیشنهادی برای مدل سازی و پیش‌بینی زبری سطح فرایند برش شیشه، با توجه به پارامترهای فرایند شامل فشار جت آب، سرعت پیشروی، نرخ ریزش ذرات ساینده و فاصله نازل تا سطح قطعه کار از شبکه عصبی مصنوعی پیشخور با باز انتشار خط استفاده شد. در ادامه، الگوریتم کرم شب‌تاب با استفاده از مدل شبکه عصبی مصنوعی پیشنهادی، اقدام به بهینه کردن زبری سطح برش خورده به عنوانتابع هدف کرد و در نهایت پارامترهای متناسب با زبری سطح کمینه ارائه شد. نتایج حاصل نشان داد که مدل پیشنهادی برای پیش‌بینی پارامترهای خروجی مناسب بوده و همچنین نتایج به دست آمده از الگوریتم بهینه‌سازی استفاده شده، حاکی از کاربردی بودن این الگوریتم در فرایندهای با طبیعت پیچیده، دارد.

کلیدواژگان: مدل‌سازی، جت آب همراه با ذرات ساینده، بهینه‌سازی، شبکه عصبی، الگوریتم کرم شب‌تاب.

Modeling of abrasive water-jet cutting of glass using artificial neural network and optimization of surface roughness using firefly algorithm

H. Amirabadi^{1*}, K. Khalili², A. Foorginejad³, J. Ashoori⁴

- 1- Assis. Prof., Mech. Eng., Birjand Univ., Birjand, Iran
2- Assis. Prof., Mech. Eng., Birjand Univ., Birjand, Iran
3- PhD. Student, Mech. Eng., Birjand Univ., Birjand, Iran
4- MSc., Mech. Eng., Birjand Univ., Birjand, Iran
* P.O.B. 97175/615, Birjand, Iran. hamirabadi@birjand.ac.ir

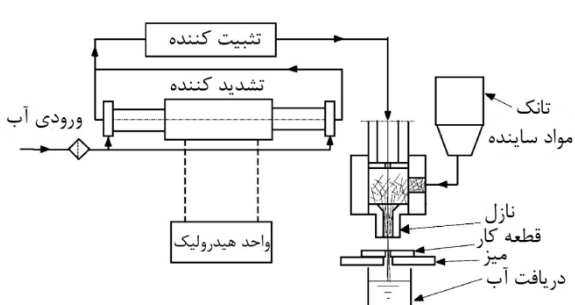
Abstract- In this paper, it is shown how to use the recently developed Firefly Algorithm to optimize abrasive water-jet cutting as a nonlinear multi-parameter process. Back propagation neural network were developed to predict surface roughness in abrasive water-jet cutting (AWJ) process. In the development of predictive models, machining parameters of traverse speed, water-jet pressure, standoff distance and abrasive flow rate were considered as model variables. Firefly Algorithm by using back propagation neural network optimizes glass surface roughness in abrasive water-jet cutting and proposes appropriate parameters for minimum surface roughness. Testing results demonstrate that the model is suitable for predicting the response parameters. The results showed this algorithm applicable for processes with complex nature.

Keywords: Modeling, Abrasive Water Jet Cutting, Optimization, Neural Network, Firefly Algorithm.

۱- مقدمه

فناوری جت آب یکی از سریع‌ترین فرایندهای در حال توسعه محسوب می‌شود [۱]. این فناوری به محیط زیست آسیبی نمی‌رساند و اکثر مواد را با این روش می‌توان ماشین‌کاری کرد. با این روش فلزات با ضخامت‌های بیش از ۱۰۰ میلی‌متر را می‌توان برید. طیف وسیعی از صنایع، از صنایع اتومبیل‌سازی و صنایع هوا-فضا گرفته تا صنایع دارویی و غذایی این فرایند را مورد استفاده قرار می‌دهند. برای نمونه به برخی کاربردهای این فناوری از قبیل برش قطعات ماهی، برش منسوجات، برداشتن لایه پوششی قطعات موتور و بریدن قطعات کامپوزیتی سازه‌های هوا-فضایی، می‌توان اشاره کرد [۲]. اگرچه جت آب به تنها‌ی قادر به برش کاری می‌باشد، اما با افزودن ذرات ساینده، نرخ براده‌برداری فرایند به نحو قابل توجهی افزایش پیدا می‌کند. از عوامل دیگری که به رشد و توسعه برش کاری جت آب کمک کرده است، انعطاف‌پذیری زیاد فرایند، کم بودن نیروهای براده‌برداری، عدم وجود تنش‌های حرارتی بهدلیل سرد بودن فرایند و در نتیجه عدم اعوجاج قطعات حین برش، وجود نداشتن منطقه متاثر از حرارت، چند منظوره بودن، کیفیت سطح خوب و پلیسه کم، بوده است [۳].

سیستم برش کاری جت آب همراه با ذرات ساینده معمولاً شامل چندین جزء می‌باشد: یک پمپ ویژه با فشار بسیار بالا، سیستم دریافت آب، سیستم موقعیت دهی نازل، واحد اختلاط که از یک دهانه، محفظه مخلوط کردن و نازل متتمرکز‌کننده تشکیل شده است. بیشتر ماشین‌های برش با جت آب مورد استفاده مجهر به جت آب ساینده هستند که در آن آب با فشار بسیار بالا با استفاده از سیستم تشیدی‌کننده فشار، پمپ می‌شود. در اثر عبور آب با فشار از اوریفیس^۱ جت آب با سرعت بالا تشکیل می‌شود. هنگامی که جت آب از درون محفظه اختلاط عبور می‌کند به دلیل خلاء ایجاد شده توسط جت آب، ذرات ساینده به داخل محفظه اختلاط مکیده می‌شوند. اغتشاش ایجاد شده در محفظه اختلاط باعث مخلوط شدن ذرات ساینده با آب شده و جت آب ساینده با قدرت زیاد شکل می‌گیرد. در نازل متتمرکز کننده با انتقال مومنتم^۲ از آب به ذرات ساینده جریان مداومی از ذرات ساینده سرعت بالا در



شکل ۱ طرح‌واره فرایند برش کاری جت آب [۶]

آنها با استفاده از شبکه عصبی باز انتشار خطای و مدل

3. Kerf
4. Taguchi

1. Orifice
2. Momentum

می‌شود. بر اساس مطالعه تجربی انجام گرفته توسط هماتانی و رامولو بر روی برش کاری کامپوزیت‌های نسوز مشخص شد که با افزایش سرعت جابجایی نازل، زبری سطح برش خورده افزایش می‌یابد. آنها نشان دادند که با افزایش سرعت جابجایی نازل، ماده هدف زمان کمتری برای در معرض جت مواد ساینده بودن در اختیار دارد و همین امر باعث افزایش زبری سطح برش خورده می‌شود [۱۰].

تحقیق هوچنگ و چانگ بر روی نرخ برداشت مواد در برش کاری سرامیک توسط جت آب همراه با ذرات ساینده نشان داد که افزایش نرخ ریزش ذرات ساینده باعث می‌شود تا سطح نهایی قطعه کار زبری کمتری داشته باشد. آنها دلیل این کاهش زبری سطح برش خورده را این‌گونه توضیح می‌دهند که افزایش نرخ ذرات ساینده باعث می‌شود تا ذرات ساینده بیشتری با سطح قطعه کار برخورد کنند و در نتیجه سطح برش کاری شده زبری کمتری داشته باشد [۱۱].

مطالعات ونگ و وونگ نشان داد که بین زبری سطح و فشار آب یک رابطه خطی وجود ندارد. آنها نشان دادند که در ابتدا با افزایش فشار جت آب زبری سطح نیز کاهش می‌یابد اما پس از آن با افزایش بیشتر فشار جت آب زبری سطح افزایش می‌یابد [۱۲]. کواچویک با مطالعه سطح برش خورده توسط ونگ و وونگ همراه با ذرات ساینده، نتایج به دست آمده توسط ونگ و وونگ را تأیید می‌کند. او این نظریه را این‌گونه توضیح می‌دهد که این قضیه می‌تواند دو علت داشته باشد: اول، با افزایش فشار جت آب انرژی در دیواره بیرونی جت آب افزایش می‌یابد. دوم، افزایش جت آب باعث می‌شود تا ذرات ساینده در هنگام چرخش خورد شده و توانایی برش کاری خود را از دست بدنهنده [۱۳]. ونگ و وونگ با بررسی ورق‌های برش کاری ورق‌های فولادی دریافتند که با افزایش فاصله نازل تا سطح قطعه کار، زبری سطح افزایش می‌یابد. آنها دلیل این امر را واگرا شدن جت آب هنگامی که فاصله نازل تا سطح قطعه کار افزایش می‌یابد، می‌دانند [۱۲].

در این تحقیق نمونه‌ها از شیشه‌ای با خواص معرفی شده جدول ۱ و ابعاد $150 \times 20 \times 10$ mm توسط فرایند برش کاری جت آب همراه با ذرات ساینده برش کاری شدند. دستگاه زبری‌سنج ماهر^۳ و معیار R_a برای اندازه‌گیری زبری سطوح برش خورده بکار گرفته شد.

3. Mahr

رگرسیون^۱ زبری سطح فرایند را پیش‌بینی کردند و با استفاده از آنالیز واریانس مؤثرترین پارامترهای تأثیرگذار بر زبری سطح را مشخص کردند. این بررسی‌های آماری نشان داد که فشار جت آب بیشترین تأثیر را بر روی زبری سطح خواهد گذاشت. همچنین سرینواسو و رامش [۸] با استفاده از نزو-زنگیک^۲ پارامترهای فرایند را به نحوی پیشنهاد دادند که عمق برش با تغییر قطر دهانه متumerکز کننده ثابت باقی بماند.

در این مقاله زبری سطح به عنوان یک پارامتر مؤثر در کیفیت برش مورد مطالعه قرار گرفته است. فشار آب خروجی، سرعت پیشروی، فاصله نازل تا سطح قطعه کار و نرخ ریزش ذرات ساینده؛ متغیرهای تأثیرگذار بر زبری سطح در نظر گرفته شده‌اند. برای طراحی آزمایش‌ها از روش تاگوچی استفاده شده و نتایج به دست آمده، برای آموزش شبکه عصبی مصنوعی و اعتبارسنجی آن مورد استفاده قرار گرفته است. در نهایت الگوریتم کرم شبتاب با استفاده از مدل شبکه عصبی مصنوعی حاصل، پارامترهای ورودی مناسب برای رسیدن به زبری سطح بهینه را پیشنهاد می‌نماید.

۲- آزمایش‌های تجربی

شیشه یکی از مواد پر مصرف صنایع مختلف به دلیل شفافیت، مقاومت در مقابل خوردگی و سختی بالا می‌باشد. در روش‌های سنتی برای برش شیشه با استفاده از ابزارهای تک لبه‌ای مانند الماس خراشی بر روی سطح شیشه ایجاد می‌نمایند و سپس با ایجاد تنفس اقدام به شکستن شیشه از محل خراش می‌کنند که البته سطوح بوجود آمده عاری از عیب نبوده و نیاز به حذف لبه‌های تیز به کمک فرایندهای ثانویه می‌باشد که در عمل باعث افزایش هزینه برش کاری خواهد شد [۹]. شیشه به علت سختی و تردی بالا از موادی که برش کاری آنها سخت است، محسوب می‌شود. فرایند برش کاری جت آب همراه با ذرات ساینده به دلیل داشتن نیروهای برش کاری پایین و نداشتن تنفس‌های حرارتی فرایند مناسبی برای برش کاری شیشه است. پارامترهای تأثیرگذار بر زبری سطح، بر اساس مطالعات و آزمایش‌های پژوهشگران دیگر - که بر روی مواد دیگری آزمایش انجام داده بودند - انتخاب شد که در ادامه به برخی از پژوهش‌های انجام شده و تأثیر آنها بر زبری سطح اشاره

1. Regression

2. Neuro-genetic

متغیرهای آزمایش بر اساس نتایج گزارش شده در پژوهش عاشری در جدول شماره ۲ نمایش داده شده‌اند [۱۵]. اگر با توجه به سطوح تعریف شده تمامی آزمایش‌ها بخواهد انجام شود، با توجه به وجود یک متغیر دو سطحی و سه متغیر چهار سطحی تمامی حالت‌های موجود ۱۲۸ آزمایش می‌شود برای کاهش هزینه و زمان برای انجام آزمایش‌ها از روش تاگوچی متعامد برای طراحی آزمایش استفاده شد. جدول ۳ چیدمان متعامد L-32 به دست آمده از نرم‌افزار مینی‌تب^۱ و زبری سطح برش خورده را نشان می‌دهد [۱۵].

۳- شبکه عصبی مصنوعی

در این پژوهش شبکه عصبی مصنوعی با الگوریتم پس انتشار خطاب برای مدل‌سازی فرایند استفاده شد. یکی از مزیت‌های استفاده از شبکه عصبی مصنوعی در این است که مدل شبکه به راحتی بر پایه داده‌های ورودی و خروجی ساخته و آموزش داده می‌شود و قادر است که با دقت مناسب خروجی فرایندهای دینامیک را پیش‌بینی کند.

شبکه‌های عصبی قادرند یک فرایند دارای ورودی‌ها و خروجی‌های متعدد را با هر درجه از پیچیدگی، بر اساس دقت مورد نیاز طراح شبکه، تقریب بزنند و لذا می‌توان از شبکه‌های عصبی برای مدل‌سازی برش‌کاری جت آب همراه با ذرات ساینده استفاده کرد. همچنین بر اساس پژوهش‌های انجام شده روش پس انتشار، روشی موفق برای پیش‌بینی پارامترهای خروجی فرایندهای مختلف از جمله پیش‌بینی زبری سطح بوده است [۱۶-۱۸].

جدول ۲ بازه پارامترهای آزمایش [۱۵]

پارامترهای فرایند	سطح ۱	سطح ۲	سطح ۳	سطح ۴
فشار جت آب P (bar)	۳۶۰۰	۲۴۰۰	-----	-----
سرعت پیشروی V (mm/min)	۶۰۰	۴۵۰	۳۰۰	۷۵۰
نرخ ریزش ذرات ساینده m (gr/min)	۲۰۰	۱۵۰	۱۰۰	۲۵۰
فاصله نازل تا سطح قطعه d (mm)	۳	۲	۴	۵
طول نازل mm	۷۵	۷۵	۵۵	۵۵
طول مخزن مخلوط کردن mm	۱۳۹۲	۱۳۹۲	۱۳۹۲	۱۳۹۲

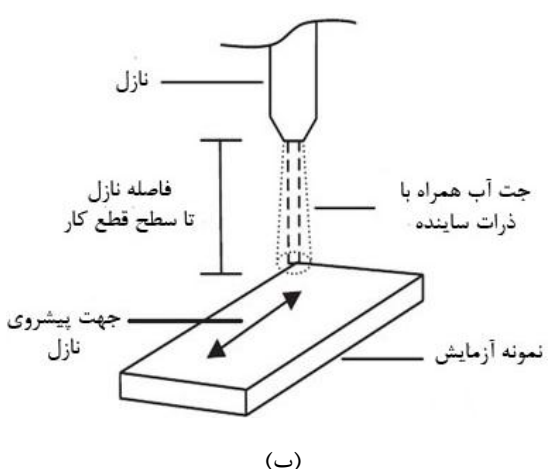
برای انجام آزمایش از دستگاه برش کاری جت آب به همراه ذرات ساینده KMT-SLV50 استفاده شد. شکل ۲ نحوه آماده‌سازی و متغیرهای آزمایش را نشان می‌دهد. به علت محدودیت پمپ به کار گرفته شده در آزمایش، فشار جت آب دارای دو سطح و سایر پارامترها دارای چهار سطح می‌باشند. ذرات ساینده مورد استفاده از نوع گارنت با مش 80×0.9 میلی‌متر می‌باشد. جریان جت آب عمود بر نمونه‌ها تنظیم شد.

جدول ۱ خواص شیشه برش کاری شده [۱۵]

ظرفیت حرارتی (knoop)	دنسیته (kg/m ³)	تنش شکست (MN/m ²)	ظرفیت حرارتی (J/kg)
۶۰۰	۲۲۰۰	۷۰	۷۵۰



(الف)



(ب)

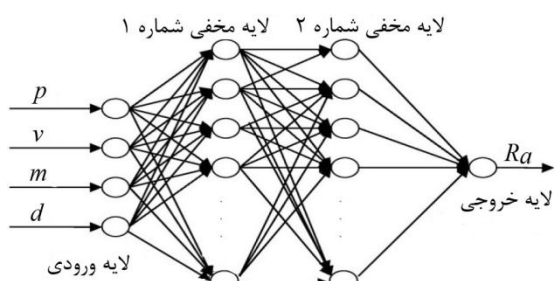
شکل ۲ (الف)-آماده سازی آزمایش و ب-نمایش شماتیک متغیرهای آزمایش [۱۴]

از ۱ تا ۳۰ عدد در هر لایه تغییر داده شد، تا کمترین مقدار خطای پیش‌بینی زیری سطح بدست آید. در نهایت برای لایه پنهانی اول ۸ نرون و برای لایه پنهانی دوم ۸ نرون انتخاب شد. از تابع انتقال تانژانت هیپربولیک سیگموئید برای ورودی لایه‌های مخفی و تابع انتقال خطی در لایه خروجی استفاده شد. تابع انتقال تانژانت هیپربولیک سیگموئید مقدار ورودی در بازه $-\infty$ – $+ \infty$ را در بازه -1 – 1 فشرده می‌سازد و تابع انتقال خطی همان مقدار ورودی به تابع را به عنوان خروجی بر می‌گرداند. چهار پارامتر ورودی که به عنوان ورودی‌های شبکه عصبی به کار رفته‌اند عبارتند از: فشار جت آب، سرعت پیش‌روی، نرخ ریزش ذرات ساینده و فاصله نازل تا سطح قطعه کار. زیری سطح به عنوان پارامترهای خروجی این شبکه در نظر گرفته شده است.

از آنجا که محدوده داده‌های ورودی و خروجی فرایند با یکدیگر تفاوت دارند، داده‌ها در فاصله $[1, 1]$ نرمال شده‌اند. در برخی پژوهش‌ها داده‌ها نرمال شده و سپس اقدام به مدل‌سازی فرایند می‌شود [۱۹]. در پژوهشی مشابه که بر روی فرایند جت آب انجام شده، بایو و همکاران، به منظور افزایش سرعت آموزش و کاهش خطای در شبکه عصبی، نسبت به نرمال کردن داده‌ها اقدام کردند [۸].

الگوریتم پس انتشار خطای از روش جستجوی گرادیان برای کمینه کردن میانگین خطای مربعات (*AMSE*) خروجی شبکه استفاده می‌کند. نحوه محاسبه میانگین خطای مربعات بر اساس رابطه (۱) است [۲۰].

$$AMSE = \frac{1}{2N} \sum_{i=1}^N \sum_{j=1}^m (T_{ij} - O_{ij})^2 \quad (1)$$



شکل ۳ معماری بکار رفته در مدل شبکه عصبی برش کاری جت آب با ذرات ساینده

جدول ۳ مقادیر داده‌های ورودی و نتایج آزمایش‌ها [۱۵]

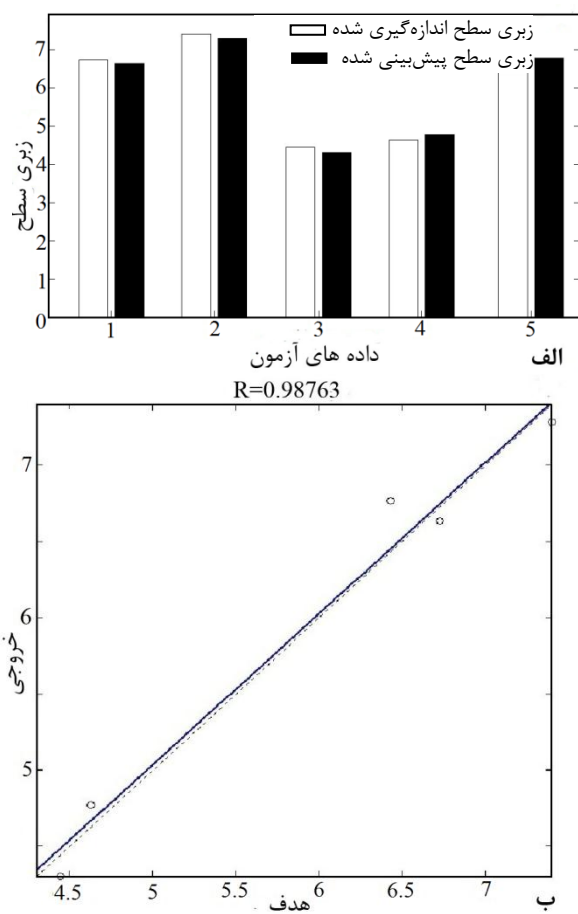
شماره آزمایش	چیدمان 32-L				
	R_a (µm)	P (bar)	V (mm/min)	m (gr/min)	d (mm)
۱	۵/۵۴۷	۲۴۰۰	۳۰۰	۱۰۰	۲
۲	۶/۶۳۶	۲۴۰۰	۳۰۰	۱۵۰	۳
۳	۴/۸۸۴	۲۴۰۰	۳۰۰	۲۰۰	۴
۴	۶/۰۳۵	۲۴۰۰	۳۰۰	۲۵۰	۵
۵	۶/۲۲۹	۲۴۰۰	۴۵۰	۱۰۰	۲
۶	۵/۴۲	۲۴۰۰	۴۵۰	۱۵۰	۳
۷	۶/۷۸۷	۲۴۰۰	۴۵۰	۲۰۰	۴
۸	۴/۶۶۲	۲۴۰۰	۴۵۰	۲۵۰	۵
۹	۶/۷۲۸	۲۴۰۰	۶۰۰	۱۰۰	۳
۱۰	۵/۴۳۶	۲۴۰۰	۶۰۰	۱۵۰	۲
۱۱	۵/۷۵۹	۲۴۰۰	۶۰۰	۲۰۰	۵
۱۲	۵/۷۷	۲۴۰۰	۶۰۰	۲۵۰	۴
۱۳	۶/۴۱۶	۲۴۰۰	۷۵۰	۱۰۰	۳
۱۴	۵/۸۴۴	۲۴۰۰	۷۵۰	۱۵۰	۲
۱۵	۶/۸۵۲	۲۴۰۰	۷۵۰	۲۰۰	۵
۱۶	۵/۲۶۸	۲۴۰۰	۷۵۰	۲۵۰	۴
۱۷	۶/۶۸	۳۶۰۰	۳۰۰	۱۰۰	۵
۱۸	۶/۰۱۸	۳۶۰۰	۳۰۰	۱۵۰	۴
۱۹	۴/۸۴۵	۳۶۰۰	۳۰۰	۲۰۰	۳
۲۰	۴/۳۲۹	۳۶۰۰	۳۰۰	۲۵۰	۲
۲۱	۵/۶۴	۳۶۰۰	۴۵۰	۱۰۰	۵
۲۲	۵/۲۰۵	۳۶۰۰	۴۵۰	۱۵۰	۴
۲۳	۵/۴۴۳	۳۶۰۰	۴۵۰	۲۰۰	۳
۲۴	۴/۴۴۳	۳۶۰۰	۴۵۰	۲۵۰	۲
۲۵	۷/۳۹۶	۳۶۰۰	۶۰۰	۱۰۰	۴
۲۶	۶/۸۹۲	۳۶۰۰	۶۰۰	۱۵۰	۵
۲۷	۵/۹۸۳	۳۶۰۰	۶۰۰	۲۰۰	۲
۲۸	۶/۰۴	۳۶۰۰	۶۰۰	۲۵۰	۳
۲۹	۵/۶۲۹	۳۶۰۰	۷۵۰	۱۰۰	۴
۳۰	۶/۷۵۹	۳۶۰۰	۷۵۰	۱۵۰	۵
۳۱	۴/۲۳۴	۳۶۰۰	۷۵۰	۲۰۰	۲
۳۲	۶/۳۳	۳۶۰۰	۷۵۰	۲۵۰	۳

معماری شبکه عصبی که در این مقاله مورد استفاده قرار گرفته است متشکل از یک لایه ورودی، دو لایه مخفی و یک لایه خروجی است. همان گونه که در شکل ۳ نشان داده شده است شبکه دارای ۴ ورودی و ۱ خروجی می‌باشد. انتخاب تعداد نرون‌ها در لایه‌های مخفی به صورت سعی و خطای انجام شد. در این تحقیق، تعداد نرون‌ها در لایه‌های مخفی به صورت تجربی

نتایج پیش‌بینی صورت پذیرفته توسط شبکه عصبی مورد استفاده برای داده‌های آزمون، خطای شبکه در پیش‌بینی نتایج ۵/۶ درصد به‌دست آمد.

۴- الگوریتم کرم شب تاب^۱

اغلب مسائل بهینه‌سازی در مهندسی علاوه بر غیرخطی بودن دارای محدودیت‌های زیادی هستند. بنابراین برای یافتن حل‌های بهینه برای اینگونه مسائل غیرخطی به الگوریتم‌های بهینه‌سازی مؤثر و کارا نیاز می‌باشد. بسیاری از الگوریتم‌های فرا ابتکاری^۲ مدرن بر مبنای هوش جمعی و الهام گرفتن از طبیعت گسترش یافته‌اند. الگوریتم‌های فرا ابتکاری پیشرفت‌هه با توجه به قدرت و کارایی‌شان در کاربردهای مختلف توسعه یافته‌اند.



شکل ۴-الف- مقایسه زبری سطح به‌دست آمده از آزمایش با مقادیر پیش‌بینی شده توسط شبکه عصبی ب- نمودار همبستگی داده‌های آزمون

1. Firefly Algorithm (FA)
2. Meta-Heuristic

که در این رابطه m تعداد نرون‌های خروجی شبکه عصبی، N تعداد داده‌های مورد استفاده برای آموزش شبکه، T داده‌های هدف برای هر نرون خروجی و O مقادیر پیش‌بینی شده در هر نرون خروجی است.

الگوریتم پس انتشار خطا یک روش متداول برای آموزش شبکه‌های عصبی چند لایه می‌باشد. این الگوریتم دارای دو مسیر مختلف رفت و برگشت است. به مسیر رفت پیش‌خور و به مسیر برگشت پس‌خور نیز گفته می‌شود. در مسیر رفت بردار ورودی به لایه ورودی فرستاده شده و یک بردار خروجی بر اساس وزن‌های موجود ایجاد می‌شود. مقدار خروجی پیش‌بینی شده با مقدار واقعی آن مقایسه شده و مقدار خطای حاصله از رابطه (۱) با استفاده از رابطه (۲) روی وزن‌ها در مسیر برگشت توزیع خواهد شد [۱۷].

$$\Delta W_{ij} = -\frac{\partial E}{\partial W_{ij}} \alpha \quad (2)$$

که در رابطه بالا $\alpha < 0$ است.

ضریب α پارامتری است که نرخ همگرایی الگوریتم را کنترل می‌کند. مسیرهای رفت و برگشت آنقدر تکرار می‌شوند تا مقدار خطا به مقدار خطای از پیش تعیین شده همگرا شود. در حقیقت شبکه، با توزیع خطای به‌دست آمده در هر مرحله روی وزن‌های قبلی و تکرار این عملیات، آموزش می‌بیند [۲۱]. داده‌های ۲۷ آزمایش از میان داده‌های ارائه شده در جدول ۲ برای آموزش شبکه عصبی و داده‌های ۵ آزمایش نیز برای آزمون شبکه بکار برده شد. داده‌های مذکور برای مراحل آموزش و آزمون به شکل تصادفی انتخاب شدند. برای بهبود دقیق پیش‌بینی شبکه عصبی، بایستی همواره در نظر داشت که بیشتر روش‌هایی که برای مدل کردن فرایندها و توابع بکار می‌روند در میان یابی قوی‌تر از برونویابی عمل می‌کنند [۲۲]. لذا قبل از اینکه داده‌ها بخواهند به دو قسمت آموزش و آزمون تقسیم شوند داده‌هایی که دارای حدود بالا و پایین هر پارامتر هستند به عنوان داده‌های آموزش در نظر گرفته شدند، تا با دادن مرزهای داده‌های آزمایشی شبکه عصبی صرفاً کار میان یابی بین داده‌های مورد استفاده برای آموزش را به انجام رساند و مقدار خطای کاهش یابد.

نتایج پیش‌بینی شبکه برای زبری سطح برای داده‌های آزمون در شکل ۴-الف نشان داده شده است و در شکل ۴-ب همبستگی داده‌های آزمون نشان داده شده است. بر اساس

پرداخته شده است و به کمک این الگوریتم زمان ساخت قطعه کمینه شده است. نهایتاً آنها نتایج به دست آمده را با نتایج به دست آمده از الگوریتم کلونی مورچگان^۳ مقایسه کردند که نتایج حاکی از برتری الگوریتم کرم شبتاب در این مسأله داشت [۲۸].

آرون آنامالای و همکاران برای بهینه‌سازی زاویه پایداری موتور از الگوریتم‌های جستجوی گرانشی^۴ و کرم شبتاب استفاده کردند و نتایج نشان داد که الگوریتم کرم شبتاب توانایی تنظیم پارامترهای بهینه‌تری برای این مسأله را دارد می‌باشد [۲۹]. کوئلهو و ماریانی ضمن بهبود الگوریتم کرم شبتاب، از این الگوریتم در تنظیم پارامترهای PID کنترل استفاده کردند و همچنین برای آزمون الگوریتم آنرا با نتایج بهینه‌سازی به دست آمده از الگوریتم‌های اجتماع ذرات و ژنتیک مقایسه کردند که نتایج این مقایسه نشان از قابلیت‌های بیشتر الگوریتم کرم شبتاب در تنظیم بهینه پارامترها داشت [۳۰]. کاظم و همکاران از شکل هیبریدی، که از ترکیب الگوریتم کرم شبتاب و رگرسیون برداری به دست آمده بود، برای پیش‌بینی قیمت‌ها استفاده کردند [۳۱].

۴-۱- بررسی الگوریتم کرم شبتاب

عمده‌ترین کاربرد الگوریتم کرم شبتاب در بهینه‌سازی مسائلی می‌باشد، که هدف نهایی بیشینه کردن تابع هدف است. در این الگوریتم تابع هدف به سادگی می‌تواند با مقدار روشنایی کرم‌های شبتاب مناسب شود. از طرف دیگر روشنایی کرم‌های شبتاب می‌تواند توسط یک راه ساده با قابلیت کارایی در الگوریتم‌های ژنتیک یا الگوریتم BFA^۵ تعریف شود. فرایند بهینه‌سازی این الگوریتم از تغییرات شدت نور و جذابیت استفاده می‌نماید.

جذابیت یک کرم شبتاب براساس درخشنده‌گی یا شدت نوری تعیین می‌شود که از تابع هدف به دست آمده است. در ساده‌ترین حالت برای مسائل بهینه‌سازی که در آن مقدار بیشینه تابع هدف بدست می‌آید، بیشینه روشنایی، "I" یک کرم شبتاب در مکان منحصر به فرد X می‌تواند مقدار روشنایی با تابع هدف مناسب شود ($f(x) \propto f(I)$). با این

الگوریتم کرم شبتاب برای نخستین بار توسط یانگ در سال ۲۰۰۸ ارائه شد [۲۳]. الگوریتم کرم شبتاب یک الگوریتم فراابتکاری است که با الهام از رفتار ساطع کردن نور کرم‌های شبتاب به دست آمده است. هدف اولیه کرم شبتاب از ساطع کردن نور به مانند یک سیستم علامت‌دهی برای جذب کرم‌های شبتاب دیگر است.

یانگ الگوریتم کرم شبتاب را براساس فرضیه‌های زیر فرموله کرده است:

الف- کرم‌های شبتاب قادر جنسیت می‌باشند، بنابراین یک کرم شبتاب می‌تواند توسط تمامی کرم‌های شبتاب دیگر جذب شود.

ب- جذابیت متناسب با نور کرم است و برای هر دو کرم شبتاب، کرم با نور کمتر جذب کرم با نور بیشتر می‌شود (به سمت آن حرکت می‌کند)، با افزایش مسافت کاهش نور کرم شبتاب نیز در نظر گرفته می‌شود.

ج- اگر هیچ کرم شبتاب نورانی‌تری نباشد، کرم شبتاب به صورت تصادفی حرکت خواهد کرد.

د- روشنایی باید با تابع هدف در ارتباط باشد.

در سال ۲۰۰۹ مقایسه این الگوریتم با الگوریتم‌های پرواز پرنده‌گان^۶ و الگوریتم ژنتیک مشخص کرد که این الگوریتم برای پیدا کردن نقطه بهینه عمومی^۷ در برخی کاربردهای مورد آزمون قرار گرفته، از کارایی بهتری برخوردار است [۲۴]. پدیدآورنده الگوریتم کرم شبتاب سال ۲۰۱۰ نتایج آزمون‌های انجام پذیرفته دیگری بر روی این الگوریتم را منتشر و علاوه بر اعتبار بخشیدن به این الگوریتم سرعت رسیدن به جواب آنرا نیز مورد بررسی قرار داد [۲۵] که در آزمون‌های انجام شده سرعت الگوریتم بالاتر از سایر الگوریتم‌ها ارزیابی شد و یک مسئله عملی نیز در مورد فشار در لوله‌ها که قبلًا توسط سایر الگوریتم‌ها حل شده بود، مجددًا توسط این الگوریتم حل شد و جواب‌های مناسبی به دست آمد. اپوستولوپوس [۲۶] از این الگوریتم برای ایجاد یک سیستم حمل و نقل اقتصادی استفاده کرد و به نوعی بر توانمندی این الگوریتم در بهینه‌سازی مسائل پیچیده صحه گذاشت. یانگ این الگوریتم را برای حل مشکلات شهری و ترافیک توصیه می‌نماید [۲۷]. در پژوهش انجام شده توسط آقای صیادی و همکاران، به بهینه‌سازی جریان مواد

3. Ant Colony Algorithm

4. Gravitational Search Algorithm (Gsa)

5. Bacterial Foraging Algorithm

1. Particle Swarm Optimization (Pso)

2. Global Optimum

جزء k از کرم شبتاب i است.

در این الگوریتم کرم‌های شبتاب به سمت کرم‌های با جذابیت بیشتر حرکت می‌کنند. در هر مرحله میزان جابجایی کرم جذب شده i به سوی کرم شبتاب جذاب‌تر (روشن‌تر) j توسط رابطه (۶) تعیین می‌شود [۲۵].

$$x_i = x_i + \beta_0 e^{-\gamma r_{ij}^2} (x_j - x_i) + \alpha \epsilon_i \quad (6)$$

قسمت دوم رابطه با جذب در ارتباط است، در حالی که قسمت سوم تصادفی است که با بردار تصادفی ϵ تغییر می‌کند که از توزیع نرمال تبعیت می‌کند. در بیشتر کاربردها می‌توان مقادیر $\beta_0 = 1$ و $\alpha \in [0, 1]$ را در نظر گرفت. علاوه بر این، اگر تفاوت در مقادیر اندازه‌ها در ابعاد مختلف وجود داشته باشد، به عنوان مثال اگر تغییرات در یک بعد از 10^{-5} تا 10^5 و در دیگر ابعاد از 10^{-3} تا 10^3 باشد یک ایده مناسب جایگزینی αS_k با αS_k است که بردار مقیاس‌دهی برای اجزای پارامترهای ورودی به الگوریتم است. در مقاله حاضر نرمال کردن کلیه پارامترهای ورودی در بازه $[1, 10]$ باعث شده تا علاوه بر افزایش سرعت آموزش و کاهش خطای شبکه عصبی، همسان‌سازی داده به وجود آمده در اثر نرمال‌سازی، باعث شده تغییرات در ابعاد مختلف، همسان شود.

پارامتر γ تغییر جذابیت را مشخص می‌کند، و مقدار آن مشخص کننده تعیین سرعت همگرایی و چگونگی رفتار الگوریتم کرم شبتاب است. در تئوری $\gamma \in [0, \infty)$ اما در عمل $\gamma = 0$ یا $\gamma = 1$ توسط سیستمی که باید بهینه شود تعیین می‌شود. در نهایت زمانی که $\gamma = 0$ ، جذابیت ثابت است واقع مانند این است گفته شود که شدت نور در یک فضای ایده‌آل کاهش نمی‌یابد. بنابراین یک کرم شبتاب روش می‌تواند در هر جایی از ناحیه دامنه دیده شود. بنابراین یک نقطه بهینه (معمولًاً بهینه عمومی) می‌تواند به راحتی قابل دسترس شود که مطابق با یک حالت خاص الگوریتم پرواز پرنده‌گان است [۲۴].

در حقیقت اگر حلقه درونی برای j برداشته شود و I_j با بهترین جواب کنونی x_j گایگزین شود، الگوریتم کرم شبتاب اصولاً به الگوریتم پرواز پرنده‌گان استاندارد تبدیل می‌شود و درنتیجه راندمان این حالت خاص مشابه الگوریتم پرواز پرنده‌گان می‌شود. از طرفی دیگر اگر $\gamma \rightarrow \infty$ مقدار جذابیت رابطه (۶) به رابطه (۷) تبدیل می‌شود.

$$\beta(r) \rightarrow \delta(r) \quad (7)$$

حال جذابیت، " β " کاملاً نسبی است و باید در چشمان ناظر دیده شود و یا توسط کرم‌های شبتاب دیگر قضاوت شود. بنابراین، جذابیت با مسافت r_{ij} بین کرم شبتاب i و کرم شبتاب j تغییر می‌کند. شدت نور با افزایش فاصله از منبع اش کاهش می‌یابد و نور در محیط نیز جذب می‌شود، بنابراین باید اجازه داده شود جذابیت با درجه جذب تغییر کند.

در ساده‌ترین حالت شدت نور $I(r)$ با مسافت r به طور پیوسته و نمایی تغییر می‌کند. بیان ریاضی تغییرات شدت نور در رابطه (۳) آمده است [۲۵].

$$I = I_0 e^{-\gamma r} \quad (3)$$

I_0 شدت نور اولیه و γ ضریب جذب نور می‌باشد. میزان جذب کرم شبتاب با شدت نوری که از کرم‌های شبتاب اطراف ساطع می‌شود، متناسب است. اکنون می‌توان مقدار جذابیت یک کرم شبتاب β را طبق رابطه (۴) تعریف کرد [۲۵].

$$\beta = \beta_0 e^{-\gamma r^2} \quad (4)$$

β_0 مقدار جذابیت در مسافت صفر است. شبه کد الگوریتم کرم شبتاب، در شکل (۵) نمایش داده شده است.

Firefly Algorithm

```

Objective function f(x), x=(x1, ..., xd)T
Initialize a population of fireflies xi (i=1,2, ...,n)
Define light absorption coefficient γ
while (t < Maxgeneration)
for i=1 : n all n fireflies
    for j=1 : i all n fireflies
        Light intensity Ii at xi is determined by f(xi)
        If (Ij > Ii)
            Move firefly i toward j in all d dimensions
            end if
            Attractiveness varies with distance r via exp[-γr]
            Evaluate new solutions and update light intensity
        end for j
    end for i
    Rank the fireflies and find the current best
end while
Postprocess results and visualization

```

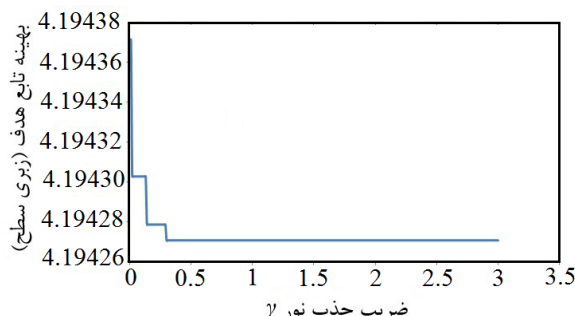
شکل ۵ شبه کد الگوریتم کرم شبتاب [۲۰].

فاصله بین هر دو کرم شبتاب i و j در X_i و X_j را می‌توان از مختصات کارتزین طبق رابطه (۵) بدست آورد.

$$r_{ij} = \|X_i - X_j\| = \sqrt{\sum_{k=1}^n (X_{i,k} - X_{j,k})^2} \quad (5)$$

است مناسب‌ترین مقادیر پارامترهای مرتبط با جذب نور محیط (۶) و حرکت تصادفی کرم شبتاب (α) برای بهینه‌سازی توسط الگوریتم کرم شبتاب بهدست آیند. به این منظور در مرحله اول $\alpha = 0.5$ در نظر گرفته شده و با تغییر ضریب جذب نور γ تأثیر آن در مقادیر بهینه بررسی و ضریب جذب نور مناسب انتخاب می‌شود. برای تنظیم مقدار γ در بازه $[0, 1]$ مقادیر بهینه تابع هدف بهدست آمد، که نتایج بهدست آمده در شکل ۶ نشان داده شده است. همان‌گونه که در شکل مشخص است مقادیر بهینه در این مسأله چندان تحت تأثیر تغییرات γ قرار نمی‌گیرند، بنابراین ضریب جذب نور برابر یک، منظور شد (۷).

قسمت سوم رابطه (۶) باعث حرکت تصادفی کرم‌های شبتاب در فضا می‌شود. پارامتر γ بردار تصادفی ایجاد می‌کند که از توزیع نرمال تبعیت می‌کند و تأثیر این بردار در حرکت کرم شبتاب به کمک پارامتر α تعیین می‌شود ($\alpha \in [0, 1]$). در صورت صفر اختیار کردن این پارامتر قسمت تصادفی رابطه (۶) کاملاً حذف خواهد شد. مقدار تابع هدف بازه مقادیر α در جدول ۴ نشان داده شده است.



شکل ۶ تأثیر ضریب جذب نور بر روی تابع هدف

جدول ۴ نتایج بهینه‌سازی زبری سطح پس از ۲۰ تکرار

میانگین	بیشینه	کمینه	α
۴/۰۰۱	۴/۰۰۱	۴/۰۰۱	.
۳/۹۸۹	۳/۹۹۲	۳/۹۸۷	۰/۰۱
۳/۹۷۴	۳/۹۸۷	۳/۹۶۹	۰/۰۵
۳/۹۸۴	۴/۰۱۶	۳/۹۶۹	۰/۱
۳/۹۷۳	۳/۹۸۷	۳/۹۶۹	۰/۲
۳/۹۷۴	۳/۹۸۸	۳/۹۶۹	۰/۴
۴/۰۱۸	۴/۰۳۲	۴/۰۱۴	۰/۶
۴/۰۳۷	۴/۰۵۱	۴/۰۳۲	۰/۸

که معرف تابع ضربه یا تابع دلتای دیراک^۱ است. این به این معنی است که جذابیت در نظر دیگر کرم‌های شبتاب تقریباً صفر است یا کرم‌های شبتاب کم‌بینا هستند. این حالت این حکم را دارد که کرم‌های شبتاب در یک منطقه بسیار مه‌آلود و تیره هستند. کرم‌های شبتاب دیگر دیده نمی‌شوند و هر یک از کرم‌های شبتاب در یک راه کاملاً تصادفی حرکت می‌کنند؛ بنابراین، در این حالت با روش جستجوی کاملاً تصادفی مطابقت می‌کند. بنابراین γ چگونگی رفتار الگوریتم را کنترل می‌کند. همچنین این امکان وجود دارد که با تنظیم γ بتوان چندین نقطه بهینه مختلف را (در صورت وجود چندین نقطه بهینه) در طی تکرارهای مشابه پیدا کرد. در حقیقت با افزایش مقدار γ پارامتر جذابیت کم رنگ‌تر شده، لذا کرم‌ها در به سمت بهینه‌های محلی جذب نمی‌شوند. در صورت وجود چندین نقطه بهینه در فضایی که کرم‌ها رها می‌شوند در صورتی که تعداد کرم‌ها به شکل قابل توجهی از نقاط بهینه بیشتر باشد هیچ نقطه بهینه‌ای از چشم کرم‌ها دور نخواهد ماند [۲۴].

۵- بحث و نتایج

به منظور بهینه‌سازی فرایند برش کاری جت آب همراه با ذرات ساینده زبری سطح به عنوان پارامتری کلیدی در تعیین کیفیت سطح برش در نظر گرفته می‌شود. در این پژوهش تلاش بر این خواهد بود که برای بهبود فرایند تا حد امکان زبری سطح به عنوان پارامتر هدف کاهش یابد. همان‌گونه که قبل اذکر شد، از این الگوریتم برای یافتن مقادیر بیشینه استفاده می‌شود، لذا برای یافتن کمترین مقدار زبری سطح، ابتدا زبری سطح در $-1 - \alpha$ ضرب می‌شود و در نهایت جواب‌های بهدست آمده از الگوریتم نیز در $-1 - \alpha$ ضرب می‌شود تا مقادیر کمینه زبری سطح بهدست آید. برای بهینه‌سازی زبری سطح توسط الگوریتم کرم شبتاب ابتدا از شبکه عصبی پیش‌خور با باز انتشار خطای برای مدل کردن فرایند استفاده شد و جمعیت اولیه برابر ۲۷ کرم شبتاب در فضای جواب منظور شد. داده‌های اولیه داده شده به الگوریتم کرم شبتاب در حقیقت داده‌های آموزش شبکه عصبی هستند. میزان روشنایی هر کرم شبتاب که مبین تابع هدف یا زبری سطح است توسط خروجی شبکه عصبی پیش‌بینی و به الگوریتم کرم شبتاب داده می‌شود. ابتدا لازم

1. Dirac delta function

تمامی جواب‌ها به یکدیگر نشان می‌دهد که در فضای جواب که کرم‌ها رها شده‌اند، فقط یک جواب بهینه وجود دارد. برای نشان دادن صحت پاسخ‌های بهدست آمده از الگوریتم کرم شب‌تاب، فرایند جت آب همراه با ذرات ساینده مجدداً توسط الگوریتم پرواز پرنده‌گان مورد بهینه‌سازی قرار گرفت. برای پیاده‌سازی الگوریتم پرواز پرنده‌گان از روابط بکار رفته در پژوهش طاهری‌فر و همکاران [۳۲] استفاده شد. معیار به پایان رسیدن الگوریتم رسیدن به حداقل تکرار ۲۰ در نظر گرفته شد. نتایج بهدست آمده در جدول ۵ نشان داده شده است. نزدیکی جواب‌های بهینه بهدست آمده از دو روش مختلف، نشان از درستی کارکرد الگوریتم کرم شب‌تاب دارد.

در الگوریتم کرم شب‌تاب، تمام کرم‌ها به سمت نقطه یا نقاط بهینه حرکت می‌کنند، بنابراین هرچه تعداد کرم‌ها بیشتر باشد احتمال دست یافتن به بهینه عمومی افزایش می‌یابد. همان‌گونه که قبلًا ذکر شد در این مسأله ۲۷ کرم شب‌تاب در فضای جواب قرار گرفتند و نتایج بهینه بهدست آمده بعد از ۲۰ تکرار، برای $\alpha = 0/2$ و $\beta = 1$ در جدول ۵ نشان داده شده است. از آنجا که ماشین بکار گرفته شده در این فرایند، دارای محدودیت تنظیم فشار در دو سطح می‌باشد، مقادیر فشار در الگوریتم بهینه‌سازی، به شکل گستته لحاظ شد به گونه‌ای که جواب بهینه نهایی فقط یکی از این دو سطح را شامل شود. نتایج بهینه‌سازی بهدست آمده برای زیری سطح و نزدیک بودن

جدول ۵ نتایج بهینه‌سازی زیری سطح توسط الگوریتم کرم شب‌تاب

R_a (μm)	P (bar)	V (mm/min)	M (gr/min)	d (mm)	ردیف
۳/۹۸۷	۳۶۰۰	۴۱۰/۵	۲۴۹/۷	۲/۰۲	۱
۳/۹۸۵	۳۶۰۰	۴۱۳/۹	۲۴۹/۸۹	۲	۲
۳/۹۸۱	۳۶۰۰	۴۰۵/۵	۲۴۹/۶۴	۲/۰۱	۳
۳/۹۸۰	۳۶۰۰	۴۰۷/۲	۲۴۸/۷۱	۲/۰۰۱	۴
۳/۹۷۹	۳۶۰۰	۴۰۷/۵	۲۵۰	۲/۰۲	۵
۳/۹۷۶	۳۶۰۰	۴۱۱/۴	۲۵۰	۲/۰۰۳	۶
۳/۹۷۵	۳۶۰۰	۴۱۰/۰۵	۲۴۹/۱۶	۲/۰۱	۷
۳/۹۷۵	۳۶۰۰	۴۱۰/۹	۲۴۹/۷۷	۲	۸
۳/۹۷۳	۳۶۰۰	۴۱۱/۵	۲۴۸/۱۶	۲/۰۱	۹
۳/۹۷۳	۳۶۰۰	۴۱۳/۲	۲۴۸/۷۴	۲/۰۳	۱۰
۳/۹۷۲	۳۶۰۰	۴۱۴/۶	۲۴۸/۳۸	۲/۰۱	۱۱
۳/۹۷۲	۳۶۰۰	۴۰۹/۹	۲۴۹/۴۳	۲/۰۳	۱۲
۳/۹۷۱	۳۶۰۰	۴۰۸/۵	۲۵۰	۲/۰۱	۱۳
۳/۹۷۱	۳۶۰۰	۴۰۹/۲	۲۴۹/۷۸	۲/۰۳	۱۴
۳/۹۷۱	۳۶۰۰	۴۰۶/۵	۲۴۹/۵۵	۲/۰۱	۱۵
۳/۹۷۱	۳۶۰۰	۴۰۵/۳	۲۴۹/۶۶	۲/۰۰۳	۱۶
۳/۹۷	۳۶۰۰	۴۱۵/۵	۲۴۸/۹۴	۲	۱۷
۳/۹۷	۳۶۰۰	۴۱۴/۹	۲۴۹/۱۶	۲	۱۸
۳/۹۷	۳۶۰۰	۴۱۵/۳	۲۴۹/۴۷	۲	۱۹
۳/۹۶۹	۳۶۰۰	۴۱۴/۶	۲۵۰	۲	۲۰
۳/۹۶۹	۳۶۰۰	۴۰۷/۰۷	۲۴۹/۹۵	۲/۰۰۱	۲۱
۳/۹۶۹	۳۶۰۰	۴۱۲/۶	۲۴۹/۹۷	۲	۲۲
۳/۹۶۹	۳۶۰۰	۴۰۷/۹۹	۲۵۰	۲	۲۳
۳/۹۶۹	۳۶۰۰	۴۱۲/۰۲	۲۵۰	۲	۲۴
۳/۹۶۹	۳۶۰۰	۴۰۹/۲	۲۵۰	۲	۲۵
۳/۹۶۹	۳۶۰۰	۴۰۹/۹	۲۵۰	۲	۲۶
۳/۹۶۹	۳۶۰۰	۴۱۰/۳۴	۲۵۰	۲	۲۷

- of Separation Techniques for Sheet Materials”, *Ann. CIRP*, Vol. 38, 1989, pp. 587-607.
- [4] Liu H., Wang J., Kelson N., Brown R.J., “A Study of Abrasive Waterjet Characteristics by CFD Simulation”, *Journal of Materials Processing Technology*, Vol. 153-154, 2004, pp. 488-493
- [5] Rozario Jegaraj, J., Ramesh Babu, N., “A Soft Computing Approach for Controlling the Quality of Cut with Abrasive Water jet Cutting System Experiencing Orifice and Focusing Tube Wear”, *Journal of Materials Processing Technology*, Vol. 185, 2007, pp. 217-227.
- [6] Kulekci M.K., “Processes and Apparatus Developments in Industrial Water Jet Applications”, *International Journal of Machine Tools & Manufacture*, Vol. 42, 2002, pp. 1297-1306.
- [7] Caydas, U., Hascal k, A., “A Study on Surface Roughness in Abrasive Water Jet Machining Process Using Artificial Neural Networks and Regression Analysis Method”, *Journal of Materials Processing Technology*, Vol. 202, 2008, pp. 574-582.
- [8] Srinivasu, D.S., Ramesh Babu, N., “A Neurogenetic Approach for Selection of Process Parameters in Abrasive Water Jet Cutting Considering Variation in Diameter of Focusing Nozzle”, *Applied Soft Computing*, Vol. 8, 2008, pp. 809-819.
- [9] Prakash, E. S., Sadashivappa, K., Joseph, V., Singaperumal, M., “Nonconventional Cutting of Plate Glass Using Hot Air Jet Experimental Studies”, *Mechatronics*, Vol. 11, 2001, pp. 595-615.
- [10] Hamatani, G., Ramulu, M., Machinability of High Temperature Composites by Abrasive Water Jet, *Journal of Engineering Materials and Technology*, Vol. 112, 1990, pp. 381-386.
- [11] Hocheng, H., Chang, K. R., Material Removal Analysis in Abrasive Water Jet Cutting of Ceramic Plates, *Journal of Engineering for Industry*, Vol. 40, No. 3-4, 1994, pp. 287-304.
- [12] Wang, J., Wong, W. C., A Study of Abrasive Water Jet Cutting of Metallic Coated Sheet Steels, *International Journal of Machine Tools and Manufacture*, Vol. 39, No. 6, 1999, pp. 855-870.
- [13] Kovacevic, R., Surface Texture in Abrasive Water Jet Cutting, *Journal of Manufacturing System*, Vol. 10, 1991, pp. 32-40.
- [14] Sadashivam, B., Hizal, A., Arola, D., “Abrasive Water Jet Peening with Elastic Prestress: A Parametric Evaluation”, *International Journal of Machine Tools & Manufacture*, Vol. 49, 2009, pp. 134-141.
- [15] J. Ashori, study of water jet cutting process of Glass by abrasive particles , Thesis of

جدول ۶ مقایسه نتایج بهینه‌سازی کرم شبتاب و پرواز پرنده‌گان

الگوریتم	R_a (μm)	P (bar)	V (mm/min)	m (gr/min)	d (mm)
کرم شبتاب	۳/۹۷	۳۶۰۰	۴۱۰	۲۵۰	۲
پرواز پرنده‌گان	۴/۰۲	۳۶۰۰	۴۲۸	۲۵۰	۲

۶- نتیجه‌گیری

الگوریتم کرم شبتاب اخیراً به عنوان یک الگوریتم فرا-ابتكاری بسط یافته است و تاکنون برای حل مسائل مربوط به فرایندهای پیچیده علوم مختلف بکار نرفته است، در علم مکانیک برای ساخت قطعات از فرایندهای تولید متفاوتی، استفاده می‌شود که بیشتر روش‌ها چه با برادرهای و چه بدون برادرهای دارای طبیعتی پیچیده بوده و پارامترهای مختلفی بر روی نتایج آنها تأثیر می‌گذارد، به دلیل داشتن پارامترهای ورودی با ماهیت‌های متفاوت، عموماً پارامترهای خروجی غیرخطی و غیر قابل پیش‌بینی بوده و حتی در بازه‌های مختلف از پارامترهای ورودی نتایج کاملاً متفاوتی بهدست می‌آید. در این پژوهش تلاش شد با این الگوریتم بهینه‌سازی یکی از این فرایندهای تولیدی مورد بررسی قرار گیرد و نتایج حاصله نشان از کاربردی بودن این الگوریتم در حل مسائل مربوط به فرایندهای تولیدی پیچیده دارد. نتایج تعداد قابل توجهی از آزمایش‌ها برای آموزش شبکه عصبی پیشخور با باز انتشار خطأ مورد استفاده قرار گرفت و پس از آن الگوریتم کرم شبتاب برای بهینه کردن زبری سطح با توجه به پارامترهای ورودی فشار آب خروجی، سرعت پیش‌روی، فاصله نازل تا سطح قطعه کار و نرخ ریزش ذرات ساینده، بکار گرفته شد. نتایج بهینه‌سازی زبری سطح، حاکی از امکان کاهش زبری سطح تا ۳/۹۶۹ میکرومتر می‌باشد که نشان دهنده بهبود ۶/۳ درصدی نتایج الگوریتم به کار رفته در این مقاله نسبت به نتایج بهدست آمده از آزمایش‌ها برای بهینه‌سازی فرایند برش کاری جت آب همراه با ذرات ساینده می‌باشد.

۷- مراجع

- [1] Summers D.A., *Waterjetting Technology*, E & FN Spon, London, England, 1995.
- [2] Hashish, M., “Abrasice-Waterjet Machining of Composites”, *WJTA Jet News*, Saint Louis, MO, USA, Vol. 128, 2008, pp. 1-18.
- [3] van Lutterveld C.A., “On the Selection of Manufacturing Methods illustrated by an Overview

- Foundations and Applications*, SAGA, Lecture Notes in Computer Sciences, Cambridge, UK, 5792, 2009, pp. 169-178.
- [25] Yang, X-S., "Firefly Algorithm, Stochastic Test Functions and Design Optimization", *International Journal of Bio-inspired Computation*, Vol. 2, No. 2, 2010, pp. 78-84.
- [26] Apostolopoulos, T., "Application of the Firefly Algorithm for Solving the Economic Emissions Load Dispatch Problem", *International Journal of Combinatorics*, Vol. 2, 2010, pp. 121-143.
- [27] Zang, H., Zhang, S., Hapeshi, K., "A Review of Nature-Inspired Algorithms", *Journal of Bionic Engineering*, Vol. 7, 2010, pp. 232-237.
- [28] Sayadi, M. K., Ramezanian, R., Ghaffari-Nasab, N., "A Discrete Firefly Meta-Heuristic with Local Search for Makespan Minimization in Permutation Flow Shop Scheduling Problems", *International Journal of Industrial Engineering Computations*, Vol. 1, 2010, pp. 1-10.
- [29] Arun Annamalai, A., Chandrabos, B. M., Karthikeyan, K., Azeezur Rahman, A., "Comparison and Study of Minimizing Rotor Angle Instability Using GSA and FF Algorithm", *Procedia Engineering*, Vol. 38, 2012, pp. 2420-2432.
- [30] Coelho, L., Mariani, V., "Firefly Algorithm Approach Based on Chaotic Tinkerbell Map Applied to Multivariable PID Controller Tuning", *Computers and Mathematics with Applications*, Vol. 64, 2012, pp. 2371–2382.
- [31] Kazem, A., Sharifi, E., Hussain, F., Saberi, M., "Support Vector Regression with Chaos-Based Firefly Algorithm for Stock Market Price Forecasting", *Applied Soft Computing*, Vol. 13, 2013, pp. 947-958.
- [32] M. M. Shokrie, S. M. Mahdavi, Micromechanical model to evaluate the effects of dimensions and interphase region on the elastic modulus of CNT/polymer composites, *Journal of Modares Mechanical Engineering*, Vol.12, No.1, 2012, pp.50-65.(In Persian)
- M.Sc,Birjang Unieversity,2011.(In Persian)
- [16] Azouzi, R., Guillot, M., "On-line Prediction of Surface Finish and Dimensional Deviations in Turning Using Neural Network Based Sensor Fusion", *Int. J. Mach. Tool Manufactory*, Vol. 37, 1999, pp. 1201–1217.
- [17] Tsai, H.Y., Chen, C., Lou, S. J., "In In-Process Surface Recognition System Based on Neural Networks in End Milling Cutting Operations", *Int. J. Mach. Tool Manufactory*, Vol. 39, 1999, pp. 583-605.
- [18] Zouaghi, N., Ichida, Y., Ben Fredj, N., Kimura, N., "Grinding Mode Identification of Silicon Carbide by Using Neural Network", *In Proceedings of the third International Conference on Progress of Cutting and Grinding*, JSPE, Osaka 3, 1996, pp. 342-347.
- [19] S. H. Hashemi, M. Rakhshkhorshid, ANN model for investigation the effect of chemical composition on hardness and impact energy in API X65 microalloyed steel, *Journal of Modares Mechanical Engineering*, Vol.12, No.4, 2012, pp.156-163.(In Persian)
- [20] Mandal, D., Pal, S. K., Saha, P., Modeling of Electrical Discharge Machining Process Using Back Propagation Neural Network and Multi-Objective Optimization Using Non-dominating Sorting Genetic Algorithm-II, *Journal of Materials Processing Technology*, Vol. 186, 2007, pp. 154-162.
- [21] H. Shahali, M. Soleimani yazdi, H. Zarepour firouzabadi, Prediction of surface roughness during machining of LM13 alloy using artificial neural network regression analysis, *9th Iranian Conference on Manufacturing Engineering*, Birjand, 2008.(In Persian)
- [22] Vanderplaats, G.N., *Numerical Optimization Techniques for Engineering Design*, Mc Graw-Hill N.Y., 1984.
- [23] Yang, X-S., *Nature-Inspired Metaheuristic Algorithm*, Luniver Press, 2008.
- [24] Yang, X-S., "Firefly Algorithms for Multimodal Optimization, in: Stochastic Algorithms",